



## Kıl Esashı Bütünüyle-Katı-Hal Kompozit Kurşun (II)-Seçici Potansiyometrik Elektrot

Bilge DOĞAN<sup>1</sup>, Bülent ÇAĞLAR<sup>2</sup>, Cihan TOPCU<sup>3</sup>, Fatih ÇOLDUR<sup>2</sup>, Agah Oktay ÖZDEMİR<sup>4</sup>, Eda KELEŞ GÜNER<sup>5</sup>, Osman ÇUBUK<sup>6</sup> ve Kemal Volkan ÖZDOKUR<sup>2</sup>

How to cite: Doğan, B., Çağlar, B., Topcu, C., Çoldur, F., Özdemir, A. O., Keleş Güner, E., Çubuk, O., & Özdukur, K. V. (2022). Kil esashı bütünüyle-katı-hal kompozit kurşun (II)-seçici potansiyometrik elektrot. *Sinop Üniversitesi Fen Bilimleri Dergisi*, 7(1), 8-21. <https://doi.org/10.33484/sinopfbd.1080403>

### Araştırma Makalesi

#### Sorumlu Yazar

Bülent ÇAĞLAR

bcaglar@erzincan.edu.tr

#### Yazarlara ait ORCID

B. D: 0000-0001-7552-3461  
B. Ç: 0000-0002-6087-3685  
C. T: 0000-0003-0613-5873  
F. Ç: 0000-0002-7037-2825  
A. O. Ö: 0000-0003-4488-746X  
E. K. G: 0000-0002-4421-1315  
O. Ç: 0000-0001-7858-2803  
K. V. Ö: 0000-0002-9540-7203

Received: 28.02.2022

Accepted: 25.03.2022

#### Öz

Bentonit kili XRD, FTIR ve SEM-EDX teknikleriyle karakterize edildi. Karakterize edilen kil bütünüyle katı hal kompozit potansiyometrik elektrot yapımında iyonofor madde olarak kullanılmış ve kılın potansiyometrik uygulaması gerçekleştirilmiştir. Elektrodun  $Pb^{2+}$  iyonuna karşı, diğer yaygın inorganik katyonlarla karşılaşıldığında oldukça duyarlı ve seçici potansiyometrik bir cevap sergilediği gözlemlenmiştir. Membran optimizasyon çalışmaları neticesinde en iyi potansiyometrik performans özellikleri sergileyen bileşimin kütlece %65.0 grafit, %5.0 çok duvarlı karbon nanotüp, %20.0 iyonofor (bentonit) ve %10.0 parafin yağı olduğu belirlenmiştir.  $Pb^{2+}$  seçici kompozit elektrodun  $1.0 \times 10^{-5} - 1.0 \times 10^{-1}$  M konsantrasyon aralığında doğrusal cevap sergilediği, doğrusal çalışma aralığında standart  $Pb^{2+}$  çözeltilerine karşı her 10 katlık konsantrasyon değişiminde ortalama 31 mV potansiyel fark sergilediği gözlenmiştir. Elektrodun tayin sınırı  $9.0 \times 10^{-6}$  M olarak hesaplanmıştır. Elektrodun cevap zamanının oldukça kısa olduğu (~5 s) potansiyometrik cevabin ve tekrarlanabilirliğinin de oldukça yüksek olduğu ortaya konmuştur.

**Anahtar Kelimeler:** Bentonit, XRD, kurşun, potansiyometrik elektrot

### All-Solid-State Composite Lead (II)-Selective Potentiometric Electrode Based on Clay

<sup>1</sup>Erzincan Binali Yıldırım Üniversitesi, Fen Bilimleri Enstitüsü, Kimya Anabilim Dalı, Erzincan, Türkiye

<sup>2</sup>Erzincan Binali Yıldırım Üniversitesi, Fen-Edebiyat Fakültesi, Kimya Bölümü, 24100 Erzincan, Türkiye

<sup>3</sup>Samsun Üniversitesi, Mühendislik Fakültesi, Biyomedikal Mühendisliği Bölümü, Samsun, Türkiye

<sup>4</sup>Erzincan Binali Yıldırım Üniversitesi, Meslek Yüksekokulu, Tasarım Bölümü,

#### Abstract

The bentonite clay was characterized by XRD, FTIR and SEM-EDX techniques. The characterized bentonite clay was used as an ionophore material in the production of solid state composite potentiometric electrodes and its potentiometric electrode application was carried out. It was observed that the electrode exhibited a highly sensitive and selective potentiometric response to  $Pb^{2+}$  ion compared to other common inorganic cations. Membrane optimization studies indicated that the composition exhibiting the best potentiometric performance properties was 65.0% graphite, 5.0% multi-walled carbon nanotube, 20.0% ionophore (bentonite) and 10.0% paraffin oil by mass. It was also observed that the  $Pb^{2+}$  selective composite electrode exhibited a linear response in the concentration range of  $1.0 \times 10^{-5} - 1.0 \times 10^{-1}$  M with an average potential difference of 31 mV for each 10-fold  $Pb^{2+}$  concentration change in the linear operating range. The detection limit of the electrode was calculated as  $9.0 \times 10^{-6}$  M. It was also revealed that the response time of the electrode

<p>Moda Tasarımı Programı, Erzincan, Türkiye</p> <p><sup>5</sup>Erzincan Binali Yıldırım Üniversitesi, Üzümlü Meslek Yüksekokulu, Mülkiyet Koruma ve Güvenlik Bölümü, Sivil Savunma ve İtfaiyecilik Programı, Erzincan, Türkiye</p> <p><sup>6</sup>Hitit Üniversitesi, Sağlık Bilimleri Fakültesi, Beslenme ve Diyetetik Bölümü, Sağlık Bilimleri Kampüsü, Çorum, Türkiye</p> <p>Bu çalışma Creative Commons Attribution 4.0 International License ile lisanslanmıştır</p>	<p>was quite short (~5 s) and the reproducibility of the potentiometric response was quite high.</p> <p><b>Keywords:</b> Bentonite, XRD, lead, potentiometric electrode</p>
--	---

## Giriş

Günümüzde sanayi ve teknolojinin gelişmesiyle birlikte çevre, insan ve diğer canlılar üzerinde ciddi olumsuz etkilere sahip olan ağır metal kirliliği git gide artmaktadır. Pb, Cd, Hg ve Cr ağır metal kirliliğine sebep olan başlıca metallerdir. Bu metal iyonlarının çevre ve su kaynaklarından uzaklaştırılması için adsorpsiyon, iyon değişimi, filtrasyon ve koagülasyon gibi teknikler yaygın olarak kullanılmaktadır [1-4]. Bununla birlikte ilgili yöntemin uygulanabilmesi için öncelikle su kaynaklarındaki bu iyonların tespiti büyük öneme sahiptir. Birçok avantajlarından ötürü ağır metal iyonlarının tespitinde voltametri, kondüktometri, amperometri ve potansiyometri gibi analitiksel yöntemler bilim camiasının ilgisini çekmiştir [5, 6]. Bunların arasında, potansiyometrik iyon seçici elektrotlar, yüksek seçicilik, geniş çalışma aralığı, düşük tayin limiti, hızlı yanıt vermesi, basit ölçüm işlemi, düşük maliyeti ve ön işlem gerektirmemesi gibi üstün özelliklerinden dolayı diğer analitik teknikler arasında yaygın olarak kullanılan elektrokimyasal bir yöntemdir. İyon seçici elektrot çalışmalarında PVC membran elektrotlar klasik olarak en yaygın kullanılan iyon seçici elektrot çeşitleridir. Bu elektrotlarda membran yapısında elektrodun seçiciliğini ve duyarlığını sağlayan en önemli bileşen iyonofor maddelerdir [7] ve bu türler membranın yapısına ilave edilerek kovalent olmayan etkileşimlerle membran yapısına tutturulur. Fakat elektrot kullanıldıkça membran bileşenlerinin zamanla ölçüm çözeltilerine akması ve membran/ion elektron dönüştürücüsü ara yüzeyinde su tabakasının oluşmasıyla elektrotun kullanım ömrü ve performans özelliklerinde bozulmalar meydana gelmektedir [8, 9]. Duyarlı membran yapısına iyonoforların kovalent olarak tutturulması veya akma özelliği olmayan iyonofor özelliği gösteren katı hal mikro/nano yapılı materyallerin iyonofor olarak kullanılması bu riskleri azaltmaktadır. Bu bağlamda; killer [10, 11] modifiye karbon temelli nano materyaller [12-14], baskılanmış polimerler [15-17] vb. materyallerin iyonofor madde olarak kullanıldığı elektrotlar önemli hale gelmiştir. Uzun kullanım ömrü; minyatürizasyona elverişli olma, yenilenebilir ölçüm yüzeyine sahip olma, yüksek mekanik kararlılık,

iyon elektron dönüştürücüsü/membran arayüzeyinde su tabakası oluşturmama vb. özelliklerinden dolayı bütünüyle katı-hal kompozit iyon seçici elektrotlar klasik PVC membran elektrotlara göre önemli avantajlar sunmakta ve son yıllarda araştırmacıların giderek ilgisini çekmektedir. Killer merkez atomu silisyum ve ona koordine olan oksijen atomlarından oluşan tetrahedral tabaka ile merkez atomu alüminyum ve ona koordine olan hidroksil iyonlarından oluşan oktaedral tabakaların birleşmesinden meydana gelen alüminasilikatlardır. Tetrahedral ve oktaedral tabaka sayısına göre TO (1:1) veya TOT (2:1) şeklinde adlandırılırlar. Bentonit, başlıca bileşeni montmorillonit olan killerdir. Montmorillonit, iki tetrahedral tabaka arasında bir oktaedral tabakanın yerlesiği (2:1 veya TOT) bir dioktahedral kil mineralidir [18]. Oktaedral tabakadaki alüminyum atomlarını yerine daha düşük yükseltgenme basamağındaki atomların ( $Mg^{2+}$ ,  $Fe^{2+}$ ) yer değiştirmesi ve tetrahedral tabakadaki silisyum atomlarının yerine de yine daha düşük yükseltgenme basamağındaki atomların ( $Fe^{3+}$ ) yer değiştirmesinden ötürü negatif yükülüdür. Bu yük dengesizliği de tabakalar arasına giren ve değiştirilebilir katyonlar olarak adlandırılan  $Na^+$ ,  $Ca^{2+}$  ve  $K^+$  gibi iyonlarla dengelenir. Montmorillonitler, büyük yüzey alanları, iyi adsorpsiyon yetenekleri, yüksek katyon değişim kapasitesi ve şişme özelliklerinden dolayı endüstrinin birçok alanında adsorban, reolojik kontrol ajansı ve sulu ortamdan metal iyon değiştiricisi olarak kullanılmaktadır. Bunlar dışında tarım, mühendislik, jeoloji, kozmetik, seramik, plastik ve eczacılık gibi diğer endüstriyel uygulamaları da bulunmaktadır. Ayrıca kil minerallerinin yapısal ve yüzey özellikleri değiştirilmek suretiyle hazırlanan modifiye killer ile istenen özelliklere sahip yeni uygulama alanları olan malzemeler de elde edilmektedir [19, 20]. Son yıllarda, kil modifiye elektrotlar, elektrokimyasal sensör uygulamalarında ilgi görmektedir. Killerin, yüzey aktif maddelerle, çeşitli moleküllerle ve nanoparçacıklarla modifiye edilmiş türleriyle ilgili voltametrik ve potansiyometrik sensör uygulamaları üzerine bazı çalışmalar yapılmıştır [21-23]. Bu çalışmada öncelikle Ordu ilinden temin edilen bentonit klinin yapısal ve morfolojik özellikleri X-işinleri kırınım teknikleri (XRD), taramalı elektron mikroskopu (SEM), enerji dağılımlı X-işinleri (EDX) ve Fourier dönüşümlü kızılıtesi spektroskopi (FTIR) teknikleri kullanılarak incelendi. Karakterizasyonu gerçekleştirilen kil, bütünüyle katı-hal kompozit potansiyometrik sensörün yapısında ilk defa iyonofor malzeme olarak kullanılarak  $Pb^{2+}$  seçici potansiyometrik sensör hazırlandı. Hazırlanan sensörün membran optimizasyon çalışmaları gerçekleştirilerek en iyi potansiyometrik performans özelliklerine sahip elektrot bileşimi ve bu bileşime ait performans özellikleri araştırıldı.

## **Materyal ve Metot**

$Pb^{2+}$  seçici potansiyometrik sensör hazırlanmasında kullanılan bentonit kili Ordu ili Ünye ilçesinden temin edildi. Öncelikle kil öğütüldü ve sonra kil dışı safsızlıkların uzaklaştırılması için saf suyla dekantasyon işlemi yapıldı. Süzüldükten sonra 105 °C'de kurutuldu. Kurutulan numune 200 mesh'lik elekle elendi ve kullanılmadan önce tekrar 105 °C'de kurutuldu. Sensör hazırlamada kullanılan grafit, multiwalled karbon nano tüp ve parafin oil Sigma-Aldrich'ten temin edildi.

## Pb<sup>2+</sup> Seçici Kompozit Sensörün Hazırlanması

Pb<sup>2+</sup> seçici kompozit sensörün hazırlanmasında ağırlıkça %65.0 grafit, %5.0 multiwalled karbon nanotüp, %20.0 iyonofor (bentonit) ve %10 parafin oil kullanılmıştır. Bu karışım 30 dakika bir havanda karıştırılarak homojenize edilmiştir. Daha sonra elde edilen bu karışım 0.3 mm çapında ve 3.0 cm uzunluğunda plastik katater bir boru içeresine doldurulmuştur. Plastik boru içindeki karışım uygun çaptaki metal çubuklar kullanılarak her iki ucundan iyice preslenmiştir. Presleme işleminden sonra 0.5 cm uzunluğunda bir parça kesilerek 15.0 cm uzunluğunda bakır tele bağlanmıştır. Bağlantı noktaları izole edilerek sensörün hazırlanması tamamlanmıştır. Hazırlanan Pb<sup>2+</sup> seçici kompozit sensör, ölçüm işlemlerinden önce  $1.0 \times 10^{-1}$  M kurşun (II) nitrat çözeltisi içerisinde 4 saat şartlandırılmıştır. Sensör kullanılmadığı zamanlarda kapalı bir alanda karanlıkta muhafaza edilmiştir.

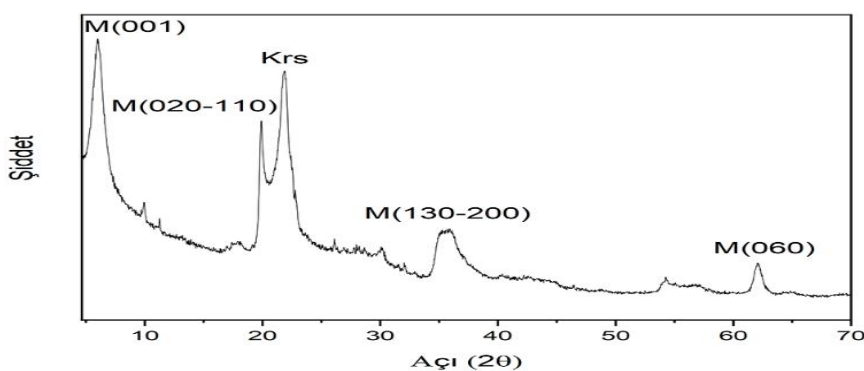
## Kullanılan Cihazlar

Bentonit klinin XRD spektrumu PANalytical Empyrean difraktometresi kullanılarak alınmıştır. FTIR spektrumu ThermoNicolet 6700 spektrometresinde 4000-400  $\text{cm}^{-1}$  aralığında kaydedilmiştir. Numunenin SEM görüntülerini ve EDX verileri FEI-Quanta FEG 450 cihazında alınmıştır.

## Bulgular ve Tartışma

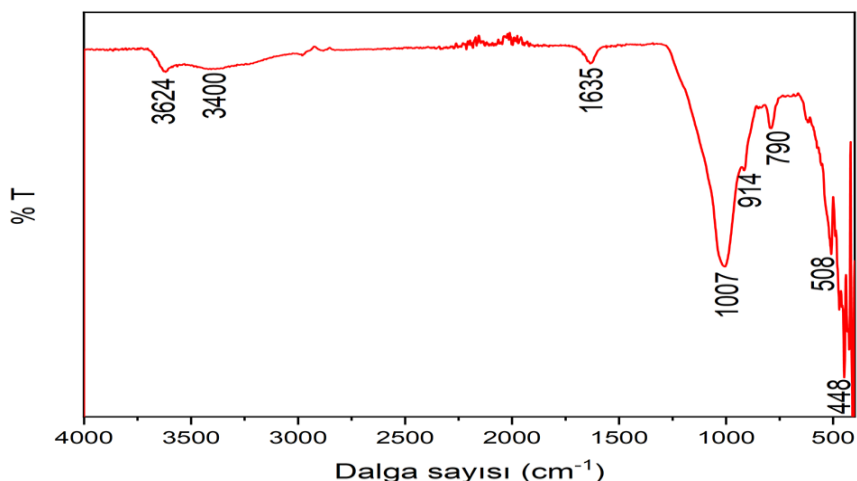
### Bentonit klinin karakterizasyonu

Bentonit klinin XRD spektrumu Şekil 1'de verilmiştir. 7.02, 19.90, 34.90 ve 61.90 ( $2\theta$ ) açılarında montmorillonit kil bileşeninin (001), (020-100), (130-200) ve (060) kırınımılarına ait 13.44, 4.46, 2.57 ve 1.50 Å uzaklıklarına sahip pikler gözlenmiştir. Temel (001) kırınım pikinin 13.44 Å değerine sahip olması ve EDX verilerinde K ve Na elementlerinin varlığı; ana bileşeni montmorillonit olan bentonitin tabakalar arasındaki değiştirilebilir katyonlarının  $\text{K}^+$  (çoğunlukla) ve  $\text{Na}^+$  iyonları olduğunu göstermektedir [18, 20]. Ayrıca (060) kırınım pikinin 1.50 Å değerine sahip olması ve EDX verilerinde Al elementinin fazla olması da montmorillonit klinin alüminyumca zengin dioktahedral olduğunu göstermektedir. Bunlara ilaveten 21.70 ve 9.98 ( $2\theta$ ) açısından pikler ise sırasıyla kristobalit ve illit içeriğinden kaynaklanmaktadır.



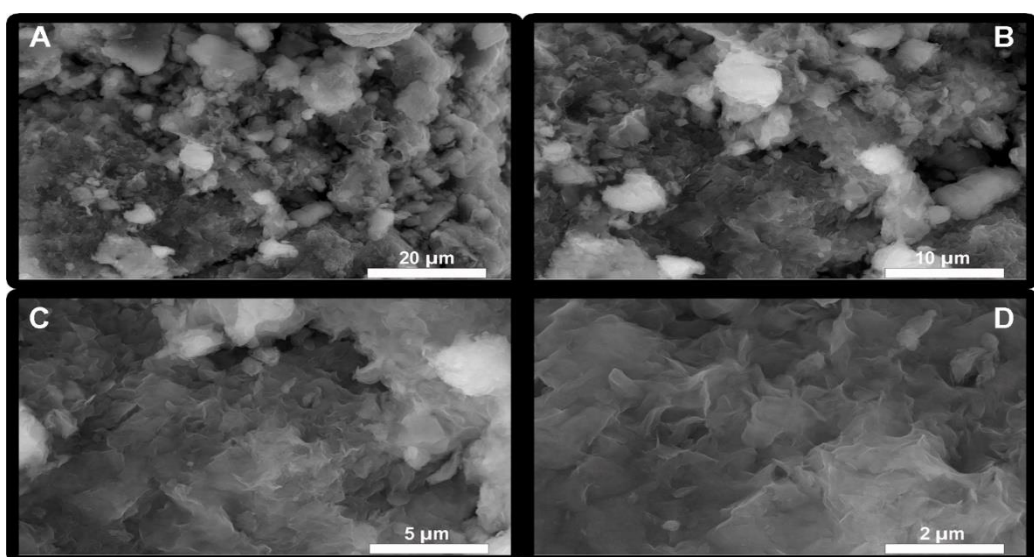
**Şekil 1.** Bentonit klinin XRD spektrumu

Bentonit klinin FTIR spektrumu Şekil 2'de verilmiştir.  $3624\text{ cm}^{-1}$ 'de yer alan IR pik klin oktaedral tabakadaki OH gerilmelerinden kaynaklanırken,  $914\text{ cm}^{-1}$ 'deki pik ise bu OH türlerinin eğilmelerinden kaynaklanmaktadır.  $3400$  ve  $1635\text{ cm}^{-1}$ 'deki IR pikleri sırasıyla yapısal suyun OH gerilmesi ve eğilmelerine aittir.  $1007$ ,  $508$  ve  $448\text{ cm}^{-1}$ 'deki IR pikleri ise sırasıyla Si-O-Si gerilmesi, Al-O-Si eğilmesi ve Si-O-Si eğilmesinden kaynaklanmaktadır. Bunlara ilaveten kristobalit mineraline ait Si-O gerilmesi ise  $790\text{ cm}^{-1}$ 'de gözlenmiştir. Bentonitin IR spektrumu literatürdeki verilerle iyi bir şekilde uyumlu olup, XRD verilerinde de belirtildiği gibi ana bileşeni montmorillonit ve az miktarda da kristobalit ve illit içermektedir [18-20].



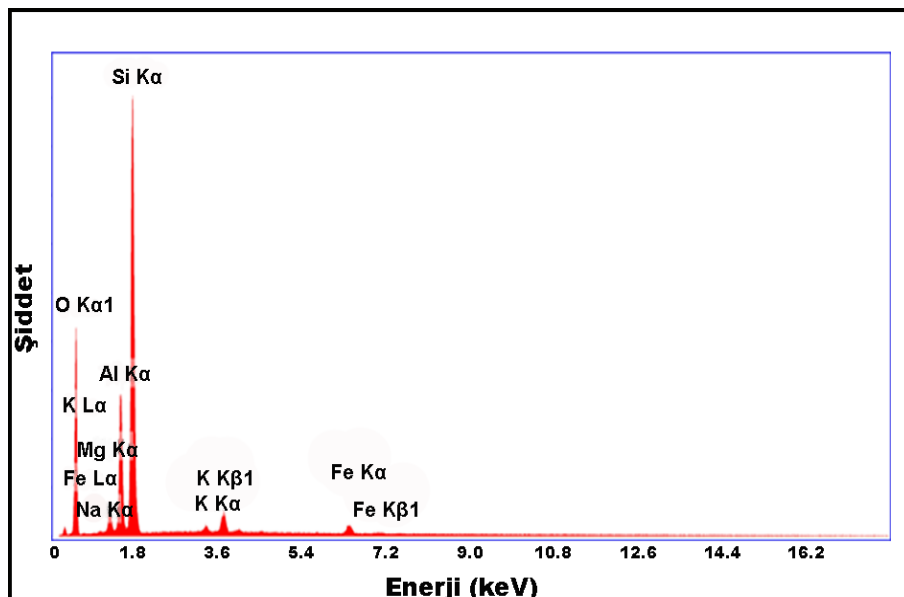
**Şekil 2.** Bentonit klinin FTIR spektrumu

Şekil 3'de bentonit klinin farklı büyütme oranlarındaki SEM görüntüleri verilmiştir. Bentonit, düşük büyütme oranlarında pürüzlü, gözenekli pul morfolojisinde bir görünüm sergilerken, büyütme oranı artıkça daha pürzszüz, kabarık süngerimsi, yaprağımsı ve daha homojen bir görünümü sahiptir. Bentonit parçacıkların genişliği mikro inceliği ise nanoboyutlara sahiptir.



**Şekil 3.** Bentonit klinin farklı büyütme oranlarındaki SEM görüntülerini

Bentonit kilinin EDX spektrumu Şekil 4'te ve kimyasal bileşimi Tablo 1'de özetlenmiştir. Kilin oktaedral ve tetrahedral tabakalarından kaynaklanan Si, Al ve O atomları başlıca bileşen iken oktaedral ve tetrahedral tabakaların yer değiştirmesinden kaynaklanan sırasıyla Fe ve Mg atomları da bulunmaktadır. Ayrıca tabakalar arasında değiştirilebilir katyon olarak bulunan K<sup>+</sup> ve Na<sup>+</sup> iyonlarının varlığı da mevcuttur.



*Şekil 4. Bentonit kilinin EDX spektrumu*

Bunlara ilaveten kristobalit ve illitin katkısı silisyum, oksijen ve potasyum miktarlarını etkilemiştir. Sonuç olarak, ana bileşeni montmorillonit ve az miktarda da kristobalit ve illit içерdiği bütün karakterizasyon teknikleriyle uyumludur [24].

*Tablo 1. Bentonit kilinin EDX verilerinden elde edilen kimyasal bileşimi*

	Si	Al	O	Fe	Mg	K	Na
% ağırlık	33.33	10.57	51.68	1.36	2.49	0.54	0.03
% atomik	23.97	7.91	65.25	0.49	2.07	0.28	0.03

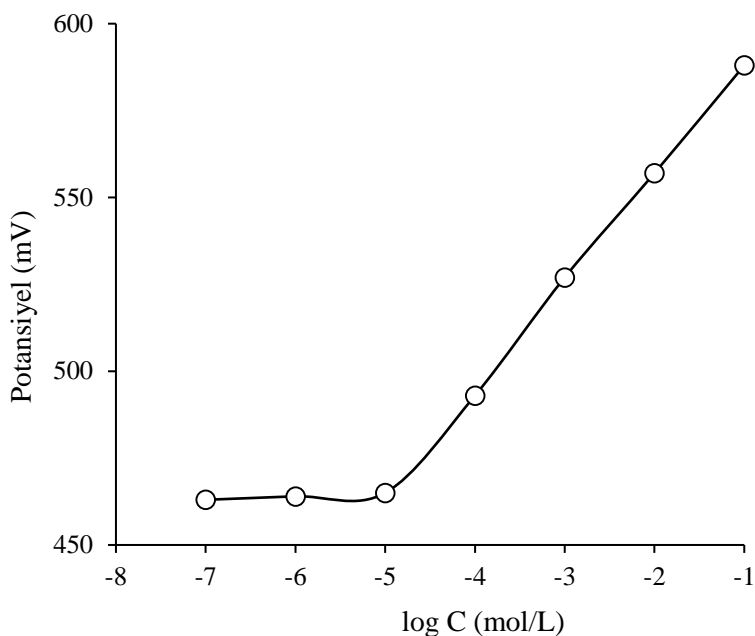
### Pb<sup>2+</sup> Seçici Kompozit Sensörün Sensör Bileşiminin Optimizasyonu

Hazırlanan Pb<sup>2+</sup> seçici kompozit sensörün en uygun kompozit bileşiminin belirlenebilmesi için farklı ornlarda grafit, multiwalled karbon nano tüp, iyonofor ve parafin oil içeren karışımalar hazırlandı. Hazırlanan karışımalar ile oluşturulan Pb<sup>2+</sup> seçici kompozit sensörlerin konsantrasyonu  $1.0 \times 10^{-6}$  –  $1.0 \times 10^{-1}$  M arasında değişen standart Pb<sup>2+</sup> çözeltileri içerisinde sergilediği potansiyometrik davranışlar incelendi. Çalışılan kompozisyonlar ve elde edilen potansiyometrik performans verileri Tablo2'de detaylı olarak verilmiştir.

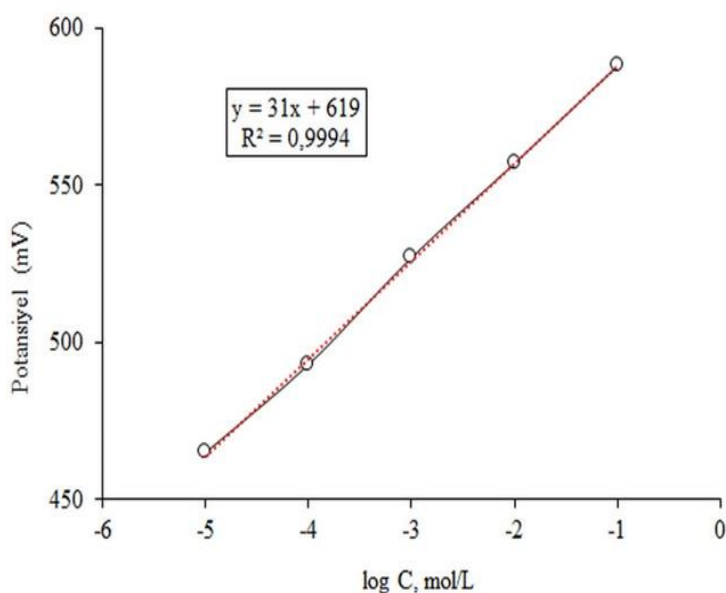
**Tablo 2.**  $Pb^{2+}$  seçici kompozit sensörünün sensör bileşiminin optimizasyonu için çalışılan kompozit karışımalar ve elde edilen potansiyometrik performans verileri

Kompozisyon No	İyonofor	Grafit	MWCNT	Parafin oil	Doğrusal aralık (M)	Eğim (mV)	R <sup>2</sup>	Cevap Zamanı (s)
1	10	65	5	20	$1.0 \times 10^{-4} - 1.0 \times 10^{-2}$	22.8	0.9479	24
2	15	65	5	15	$1.0 \times 10^{-5} - 1.0 \times 10^{-2}$	25.6	0.9739	11
3	20	65	5	10	$1.0 \times 10^{-5} - 1.0 \times 10^{-1}$	31	0.9994	5
4	25	60	5	10	$1.0 \times 10^{-4} - 1.0 \times 10^{-1}$	26	0.9597	13
5	30	55	5	10	$1.0 \times 10^{-4} - 1.0 \times 10^{-2}$	21.3	0.9359	28
6	20	60	5	15	$1.0 \times 10^{-5} - 1.0 \times 10^{-2}$	24.8	0.9686	17
7	20	55	5	20	$1.0 \times 10^{-4} - 1.0 \times 10^{-2}$	21.2	0.9525	23
8	20	60	-	20	$1.0 \times 10^{-4} - 1.0 \times 10^{-2}$	20.4	0.9482	16
9	20	65	-	15	$1.0 \times 10^{-5} - 1.0 \times 10^{-1}$	26.2	0.9862	10

Tablo 2'de özetlenmiş olan performans değerleri karşılaştırıldığında en uygun sensör kompozisyonunun ağırlıkça % 65.0 grafit, %5.0 çok duvarlı karbon nanotüp, %20.0 iyonofor (bentonit kili) ve %10 parafin oil olduğu belirlenmiştir. Sensör bileşiminde çok duvarlı karbon nanotüpün (MWCNT) kullanılması hem sensörün iletkenliğini geliştirir hem de kimyasal sinyalin elektrik sinyaline verimli bir şekilde iletilmesini sağlar. İletkenliğin artması ile sensörün dinamik çalışma aralığı genişler, hassasiyeti artar ve tepki süresi kısalır. Bu nedenle sensör bileşiminde %5.0 oranında çok duvarlı karbon nanotüp (MWCNT) kullanıldı [25]. Bu aşamadan sonra yapılan tüm potansiyometrik performans testleri optimum kompozit bileşimine sahip elektrot kullanılarak gerçekleştirilmiştir. Optimum kompozisyon bileşimi belirlenen  $Pb^{2+}$  seçici kompozit sensörün detaylı potansiyometrik cevabı test edildi. Bu çalışma için sensörün  $1.0 \times 10^{-7} - 1.0 \times 10^{-1}$  M arasındaki konsantrasyonlarda değişen farklı konsantrasyonlardaki standart  $Pb^{2+}$  çözeltileri içerisinde sergilediği potansiyometrik davranış incelendi. Elde edilen veriler kullanılarak potasiyel(E)-log[Pb<sup>2+</sup>] grafiği oluşturuldu ve  $Pb^{2+}$  seçici kompozit sensörün doğrusal çalışma aralığı, eğim ve R<sup>2</sup> değerleri gibi önemli potansiyometrik performans özellikleri belirlendi. Şekil 5'te elektrodun kalibrasyon eğrisi, Şekil 6'da ise  $Pb^{2+}$  seçici kompozit sensörün doğrusal çalışma aralığı, eğim ve R<sup>2</sup> değerleri verilmiştir. Şekil 5 ve Şekil 6'daki grafikler incelendiğinde,  $Pb^{2+}$  seçici kompozitsensörün  $1.0 \times 10^{-5} - 1.0 \times 10^{-1}$  M arasında standart  $Pb^{2+}$  çözeltilerine karşı her 10 katlık konsantrasyon değişiminde 31 mV eğimle doğrusal cevap sergilediği gözlenmiştir.  $1.0 \times 10^{-5} - 1.0 \times 10^{-1}$  M doğrusal çalışma aralığına sahip olan  $Pb^{2+}$  seçici kompozit sensörün bu doğrusal çalışma aralığındaki belirleme katsayısunın ( $R^2$ ) ise 0.9994 olduğu gözlenmiştir. Elektrodun tayin sınırı Şekil 5'teki kalibrasyon eğrisinin iki doğrusal bölgesinin kesim noktasından  $9.0 \times 10^{-6}$  M olarak hesaplanmıştır.



*Sekil 5.  $Pb^{2+}$  seçici kompozit sensör ile gerçekleştirilen detaylı kalibrasyon grafiği*

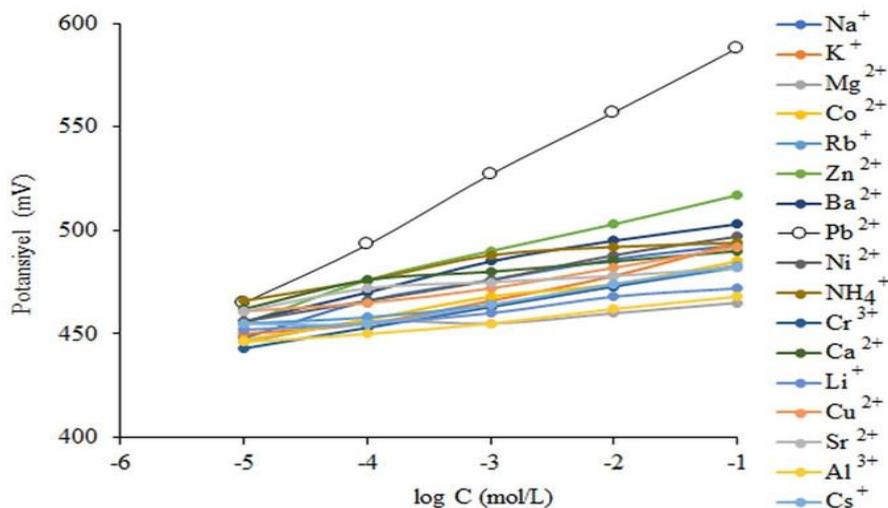


*Sekil 6.  $Pb^{2+}$  seçici kompozit sensörün doğrusal çalışma aralığı, eğim ve  $R^2$  değerlerini gösteren grafik*

### Pb<sup>2+</sup> Seçici Kompozit Sensörün Seçiciliği

$Pb^{2+}$  seçici kompozit sensörün seçiciliğini belirlemek için sensörün yaygın olarak kullanılan katyonların  $1.0 \times 10^{-5} - 1.0 \times 10^{-1}$  M konsantrasyon aralığındaki çözeltilerine karşı sergilediği potansiyometrik davranışını test edildi.  $Pb^{2+}$  seçici kompozit sensör tüm katyon çözeltilerine ayrı ayrı daldırıldı ve bu esnada elde edilen potansiyel değerleri kaydedildi [25]. Bir çözeltiden diğer bir çözeltiye geçiş sırasında

sensörün yüzeyinin deionize su ile yıkamasına dikkat edildi. Elde edilen potansiyel değerleri potansiyel-derişim grafiğine geçirildi (Şekil 7).



**Şekil 7.**  $Pb^{2+}$  seçici kompozit sensörünün  $Pb^{2+}$  iyonu ve diğer iyonlara karşı sergilediği potansiyometrik davranış

Şekil 7'de görüldüğü gibi hazırlanan  $Pb^{2+}$  seçici kompozit sensörün yaygın kullanılan katyonların yanında  $Pb^{2+}$  iyonlarına karşı seçici ve duyarlı bir potansiyometrik cevap sergilediği gözlandı. Şekil 7'deki veriler yardımıyla ayrı çözelti metodu kullanılarak  $Pb^{2+}$  seçici kompozit sensörün  $Pb^{2+}$ 'nin yanında diğer iyonlara karşı sergilediği seçiciliğin kantitatif ifadesi olan seçicilik katsayıları değerleri hesaplandı. Hesaplanan seçicilik katsayıları değerleri Tablo 3 de verilmiştir.

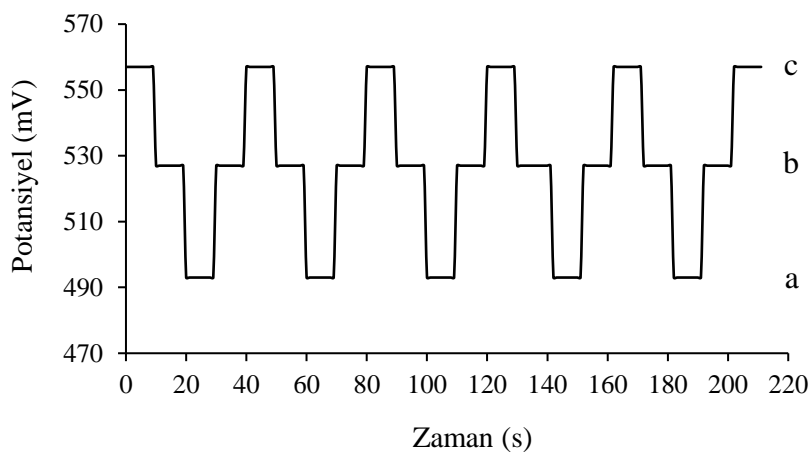
**Tablo 3.**  $Pb^{2+}$  seçici kompozit sensörünün hesaplanan seçicilik katsayıları değerleri

Girişim Yapan İyon	Ayrı Çözelti Metodu (SSM)	
	Seçicilik katsayıları değerleri ( $K_{A,B}^{pot}$ )	Logaritmik seçicilik katsayıları değerleri ( $-\log K_{A,B}^{pot}$ )
$K^+$	$9.28 \times 10^{-3}$	2.03
$NH_4^+$	$9.28 \times 10^{-3}$	2.03
$Na^+$	$8.62 \times 10^{-3}$	2.06
$Zn^{2+}$	$5.12 \times 10^{-3}$	2.29
$Cs^+$	$4.10 \times 10^{-3}$	2.39
$Rb^+$	$3.81 \times 10^{-3}$	2.42
$Li^+$	$1.81 \times 10^{-3}$	2.74
$Ba^{2+}$	$1.81 \times 10^{-3}$	2.74
$Ni^{2+}$	$1.16 \times 10^{-3}$	2.93
$Cu^{2+}$	$8.00 \times 10^{-4}$	3.10
$Ca^{2+}$	$6.90 \times 10^{-4}$	3.16
$Co^{2+}$	$4.76 \times 10^{-4}$	3.32
$Sr^{2+}$	$3.81 \times 10^{-4}$	3.42
$Cr^{3+}$	$1.90 \times 10^{-4}$	3.72
$Mg^{2+}$	$1.08 \times 10^{-4}$	3.97
$Al^{3+}$	$6.25 \times 10^{-5}$	4.20

Tablo 3'te verilen logaritmik seçicilik katsayısı değerleri incelendiğinde  $Pb^{2+}$  seçici kompozit sensörün potansiyometrik cevabına en yüksek girişim etkisinin 2.03 değeri ile  $K^+$  ve  $NH_4^+$  iyonlarından olduğu görülmektedir. Bu değer bize göstermektedir ki hazırlanan  $Pb^{2+}$  seçici kompozit sensörün potansiyometrik cevabına en yüksek girişim etkisi olan  $K^+$  ve  $NH_4^+$  iyonlarının varlığında bile sensör,  $Pb^{2+}$  iyonlarına karşı 107.15 kat daha seçici potansiyometrik davranış sergilemiştir. Sonuç olarak, hazırlanan  $Pb^{2+}$  seçici kompozitsensörün  $Pb^{2+}$  iyonlarına karşı yüksek seçicilikte potansiyometrik davranış sergilediği belirlenmiştir [25].

### **Pb<sup>2+</sup> Seçici Kompozit Sensörün Tekrarlanabilirliği**

$Pb^{2+}$  seçici kompozit sensörün potansiyometrik cevabının tekrarlanabilirliği  $1.0 \times 10^{-2} M$ ,  $1.0 \times 10^{-3} M$  ve  $1.0 \times 10^{-4} M$  standart  $Pb^{2+}$  çözeltileri kullanılarak test edildi. Bir çözeltiden diğer bir çözeltiye geçiş sırasında sensörün yüzeyinin deiyonize su ile yıkanmasına dikkat edildi.  $Pb^{2+}$  seçici kompozit sensör standart  $Pb^{2+}$  çözeltileri içerisinde denge potansiyeline ulaşıcaya kadar bekletilmiştir ve denge potansiyeline ulaştığı andaki gözlenen potansiyel verileri kaydedilmiştir. Elde edilen potansiyel değerleri potansiyel-zaman grafiğine geçirildi. Şekil 8'de  $Pb^{2+}$  seçici kompozit sensörün potansiyometrik cevabının tekrarlanabilirliği verilmiştir.

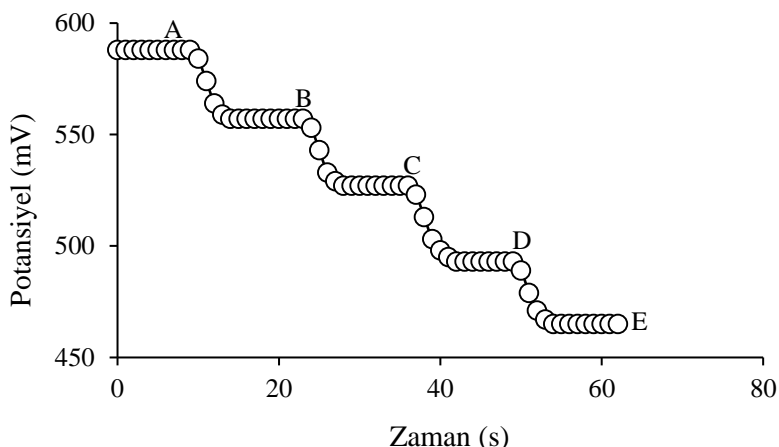


**Şekil 8.**  $Pb^{2+}$  seçici kompozit sensörünün potansiyometrik cevabının tekrarlanabilirliği ( $a=1.0 \times 10^{-4} M$ ,  $b=1.0 \times 10^{-3} M$  ve  $c=1.0 \times 10^{-2} M Pb^{2+}$ )

### **Pb<sup>2+</sup> Seçici Kompozit Sensörün Cevap Zamanı**

Çalışmamızda,  $Pb^{2+}$  seçici kompozit sensörün cevap süresini belirleyebilmek amacıyla  $1.0 \times 10^{-1} M$ ,  $1.0 \times 10^{-2} M$ ,  $1.0 \times 10^{-3} M$ ,  $1.0 \times 10^{-4} M$  ve  $1.0 \times 10^{-5} M$  standart  $Pb^{2+}$  çözeltileri kullanıldı.  $Pb^{2+}$  seçici kompozit sensör bu çözeltiler içeresine direkt olarak daldırıldı. Bir çözeltiden diğer bir çözeltiye geçiş sırasında sensörün yüzeyinin deiyonize su ile yıkanmasına dikkat edildi. Bu esnada potansiyometrik sistem sürekli çalışır durumda tutuldu.  $Pb^{2+}$  seçici kompozit sensörün  $1.0 \times 10^{-1} M$  standart  $Pb^{2+}$  çözeltisi içerisinde ulaştığı denge potansiyeli değerinden  $1.0 \times 10^{-2} M$ ,  $1.0 \times 10^{-3} M$ ,  $1.0 \times 10^{-4} M$  ve  $1.0 \times 10^{-5} M$  derişimlere sahip  $Pb^{2+}$ iyon çözeltilerinde ulaştığı denge potansiyeli değerlerine geçiş süreleri incelendi.

Elde edilen veriler potansiyel-zaman olarak grafiğe geçirildiğinde, geliştirilen  $Pb^{2+}$  seçici kompozit sensörün cevap zamanının ortalama 5 saniye olduğu belirlendi. Şekil 9'da  $Pb^{2+}$  seçici kompozit sensörün cevap zamanı verilmiştir.



**Şekil 9.**  $Pb^{2+}$  seçici kompozit sensörün cevap zamanı (A:  $1.0 \times 10^{-1}$ , B:  $1.0 \times 10^{-2}$ , C:  $1.0 \times 10^{-3}$ , D:  $1.0 \times 10^{-4}$ , E:  $1.0 \times 10^{-5} mol/L Pb^{2+}$ ).

## Sonuç

XRD, FTIR ve SEM-EDX teknikleri bentonit klinin ana bileşeninin montmorillonit ve az miktarda da kristobalit ve illit içerdigini; tabakalar arasındaki değiştirilebilir katyonlarının  $K^+$  (çoğunlukla) ve  $Na^+$  iyonları olduğunu ortaya koymuştur. Bu klinin  $Pb^{2+}$  seçici bir iyonofor olarak bütünüyle katı hal kompozit potansiyometrik sensörün yapısında kullanılabileceği gösterilmiştir. Hazırlanan potansiyometrik sensör  $Pb^{2+}$ -iyonlarına karşı oldukça duyarlı seçici ve kararlı potansiyel değerleri sergilemiştir. Sensörün kurşun iyonlarına karşı  $10^{-5}$ - $10^{-1}$  M konsantrasyon aralığında,  $31.0 \text{ mV}/10$  katlık konsantrasyon değişimi eğim değeri ile doğrusal cevap sergilediği, tayin sınırının da  $9.0 \times 10^{-6}$  M olduğu belirlenmiştir. Hazırlanan elektrot bütünüyle katı-hal kompozit yapıya sahip olduğundan minyatürizasyona uygun, hazırlanması oldukça basit, mekanik olarak da oldukça dayanıklıdır. Elektrot yüzeyinden ince kesitler alınarak elektrot yüzeyinin tazelenmesi mümkündür. Bu özellik kullanım ömrünü tamamlayan yüzeyin yenilenerek elektrotun defalarca kullanılabilmesini mümkün kılmaktadır ve ölçüm maliyeti açısından önemli avantajlar sağlamaktadır. Ayrıca elektrotun yapısında çok ucuz ve bolca bulunan kil materyalinin iyonofor olarak kullanılması, çok yüksek maliyetlerle temin edilen ticari iyonofor maddelerle hazırlanan elektrotlarla karşılaştırıldığında önemli bir avantajdır. Yine önerilen elektrodun bir diğer önemli avantajı da polimer yapısında membran içermediğinden dolayı iyon elektron dönüştürücüsü/membran ara yüzeyinde elektrodun stabilitesine zarar veren su tabakasının oluşmuyor olmasıdır. Kullanılan iyonofor maddenin katı halde olması ve çözünerek ölçüm çözeltisine geçme ihtimalinin düşük olması nedeniyle klasik iyonofor temelli PVC membran elektrotlara göre daha uzun kullanım ömrüne sahip olacağı öngörmektedir.

**Teşekkür-**

**Fon/Finansman bilgileri** Bu çalışma Erzincan Binali Yıldırım Üniversitesi Bilimsel Araştırma Projeleri Koordinatörlüğünün (BAP) FBA-2020-687 numaralı projesiyle desteklenmiştir.

**Etik Kurul Onayı ve İzinler** Çalışma, etik kurul izni ve herhangi bir özel izin gerektirmemektedir.

**Çıkar çalışmaları/Catışan çıkarlar** Yazarlar çıkar çalışması olmadığını beyan eder.

**Yazarların Katkısı** 1., 2., 3. ve 4. yazarlar %15, 5., 6., 7. ve 8. yazarlar %10 katkı sağlamıştır. Tüm yazarlar makalenin son halini okumuş ve onaylamıştır.

**Kaynaklar**

- [1] Ramola, S., Belwal, T., Li, C. J., Wang, Y. Y., Lu, H. H., Yang, S. M., & Zhou, C. H. (2020). Improved lead removal from aqueous solution using novel porous bentonite-and calcite-biochar composite. *Science of the Total Environment*, 709, Article 136171. <https://doi.org/10.1016/j.scitotenv.2019.136171>
- [2] Ouni, L., Ramazani, A., & Fardood, S. T., (2019). An overview of carbon nanotubes role in heavy metals removal from wastewater. *Frontiers of Chemical Science and Engineering*, 13(2), 274–295. <https://doi.org/10.1007/s11705-018-1765-0>
- [3] Fu, F., & Wang, Q., (2011). Removal of heavy metal ions from wastewaters: A review. *Journal of Environmental Management*, 92(3), 407-418. <https://doi.org/10.1016/j.jenvman.2010.11.011>
- [4] Uzoh, C. F., Nwabanne, J. T., & Ozofor, I. H., (2020). Electrocoagulation of Pb<sup>2+</sup>, Co<sup>2+</sup>, and Mn<sup>2+</sup> from simulated wastewater: An algorithmic optimization using hybrid RSM-GA-PSO. *Environmental Progress & Sustainable Energy*, 39:e13301. <https://doi.org/10.1002/ep.13301>
- [5] Wang, T., & Yue, W., (2017). Carbon nanotubes heavy metal detection with stripping voltammetry: a review paper. *Electroanalysis*, 29, 2178-2189. <https://doi.org/10.1002/elan.201700276>
- [6] Malik, L. A., Bashir, A., Qureashi, A., & Pandith, A. H., (2019). Detection and removal of heavy metal ions: a review. *Environmental Chemistry Letters*, 17, 1495-1521. <https://doi.org/10.1007/s10311-019-00891-z>
- [7] Pięk, M., Wojciechowska, A., Fendrych, K., Piech, R., & Paczosa-Bator B., (2019). A simple way to modify selectivity of sodium sensitive electrodes by using organic conductive crystals. *Ionics*, 25, 2311-2321. <https://doi.org/10.1007/s11581-018-2600-9>
- [8] Lindner, E., & Gyurcsányi, R. E., (2009) Quality control criteria for solid-contact, solven tpolymeric membrane ion-selective electrodes. *Journal of Solid State Electrochemistry*, 13, 51-68. <https://doi.org/10.1007/s10008-008-0608-1>
- [9] Bobacka, J., Ivaska, A., & Lewenstam, A., (2008). Potentiometric Ion Sensors. *Chemical Reviews* 108, 329-351. <https://doi.org/10.1021/cr068100w>
- [10] Mendoza, M. O., Ortega, E. P., de Fuentes, O. A., Prokhorov, Y. & Luna Barcenas J. G., (2014) Chitosan/bentonit enanocomposite: Preliminary studies of its potentiometric response to nitrate ions in water. *2014 IEEE 9th Ibero American Congress on Sensors*, 1-4. <https://doi.org/10.1109/IBERSENSOR.2014.6995562>

- [11] Udomphan, K., Wongchaisuwat, A., & Meesuk, L., (2012). CdS-intercalated bentonite: A novel sulfide ions elective electrode. *Applied Mechanics and Materials*, 110-116, 472-477. <https://doi.org/10.4028/www.scientific.net/amm.110-116.472>
- [12] Parra, E. J., Blondeau, P., Crespo, G. A., & Rius, F.X., (2011). An effective nanostructured assembly for ion-selective electrodes. An ionophore covalently linked to carbon nanotubes for Pb<sup>2+</sup> determination. *Chemical Communications*, 47, 2438-2440. <https://doi.org/10.1039/c0cc03639k>
- [13] Ghaedi, M., Montazerozohori, M., Behfar, M., Khodadoust S., Andikaey Z., & Biareh, M. N., (2011). Chemically modified multiwalled carbon nanotubes as efficient material for construction of new zinc(II) ion selective carbon paste electrode. *Sensor Letters*, 9(5), 1718-1725. <https://doi.org/10.1166/sl.2011.1735>
- [14] Zhang, T., Chai, Y., Yuan, R., & Guo, J., (2012). Nanostructured multi-walled carbon nanotubes derivate based on carbon paste electrode for potentiometric detection of Ag<sup>+</sup> ions. *Analytical Methods* 4, 454-459. <https://doi.org/10.1039/C2AY05668B>
- [15] Shirzadmehr, A., Afkhami, A., & Madrakian, T., (2015). A new nano-composite potentiometric sensor containing an Hg<sup>2+</sup>-ion imprinted polymer for the trace determination of mercury ions in different matrices. *Journal of Molecular Liquids*, 204, 227-235. <https://doi.org/10.1016/j.molliq.2015.01.014>
- [16] Wang, L., Wang, Z., Zhou, C., Song, W., & Sun, C., (2020). Potentiometric micro sensor based on ion-imprinted polymer for the trace determination of cesium(I) ions. *Journal of Dispersion Science and Technology*, 41 (7), 1095-1103. <https://doi.org/10.1080/01932691.2020.1730886>
- [17] Yolcu, M., & Dere, N., (2018). All-solid-state potentiometric Cu (II)-selective sensor based on ion imprinted methacrylamide polymer. *Electroanalysis* 30, 1147-1154. <https://doi.org/10.1002/elan.201700849>
- [18] Caglar, B., Keles Guner, E., Ersoy, S., Caglar, S., Özdemir, A.O., Özdemir, K.V., Dogan, B., İcer, F., & Çirkak C., (2021). Bi<sub>2</sub>S<sub>3</sub> nanorods decorated on bentonite nanocomposite for enhanced visible-light-driven photocatalytic performance towards degradation of organic dyes. *Journal of Alloys and Compounds*, 885, 160964. <https://doi.org/10.1016/j.jallcom.2021.160964>
- [19] Caglar, B., Keles Guner, E., Özdemir, K.V., Özdemir, A.O., İcer, F., Caglar, S., Doğan, B., Beşer, B.M., Çirkak, C., Tabak, A., & Ersoy, S., (2021). Application of BiFeO<sub>3</sub> and Au/BiFeO<sub>3</sub> decorated kaolinite nanocomposites as efficient photocatalyst for degradation of dye and electrocatalyst for oxygen reduction reaction. *Journal of Photochemistry and Photobiology A: Chemistry*, 418, Article 113400, <https://doi.org/10.1016/j.jphotochem.2021.113400>
- [20] Caglar, B., Keles Guner, E., Keles, K., Özdemir, K.V., Cubuk, O., Coldur, F., Caglar, S., Topcu, C., & Tabak, A., (2018). Fe<sub>3</sub>O<sub>4</sub> nanoparticles decorated smectite nanocomposite: characterization, photocatalytic and electrocatalytic activities. *Solid State Sciences*, 83, 122-136, <https://doi.org/10.1016/j.solidstatesciences.2018.07.013>
- [21] Prabhu, K., Malode, S. J., Veerapur, R. S., & Shetti, N. P., (2021). Clay-based carbon sensor for electro-oxidation of nimesulide. *Materials Chemistry and Physics*, 262, Article 124287. <https://doi.org/10.1016/j.matchemphys.2021.124992>
- [22] Killedar, L. S., Vernekar, P. R., Shanbhag, M. M, Shetti, N. P., Malladi, R. S., Veerapur, R. S., & Reddy K. R., (2022). Fabrication of nanoclay-modified electrodes and their use as an effective electrochemical sensor for biomedical applications. *Journal of Molecular Liquids*, 351, Article 118583. <https://doi.org/10.1016/j.molliq.2022.118583> 0167

- [23] Molaei N., Wani O. B., & Bobicki E. R., (2022). A comparative study of bio polymer adsorption on model anisotropic clay surface susing quartz crystal microbalance with dissipation (QCM-D). *Journal of Colloid and Interface Science*, 615, 543-553. <https://doi.org/10.1016/j.jcis.2022.01.180>
- [24] Koksal, E., Afsin, B., Tabak, A., & Caglar B., (2011). Structural characterization of aniline-bentonite composite by FTIR, DTA/TG, and PXRD analyses and BET measurement. *Spectroscopy Letters*, 44, 77-82. <https://doi.org/10.1080/00387010903555953>
- [25] Topcu, C., Coldur, F., Caglar, B., Ozdokur, K. V., & Cubuk, O. (2022). Solid-state electrochemical sensor based on a cross-linked copper (II)-doped copolymer and carbon nanotube material for selective and sensitive detection of monohydrogen phosphate. *Electroanalysis*, 34(3), 474-484. <https://doi.org/10.1002/elan.202100340>